



| | |
|--------------|---|
| Title | 胃集団検診による国民線量の推定 |
| Author(s) | 橋詰, 雅; 加藤, 義雄; 丸山, 隆司 他 |
| Citation | 日本医学放射線学会雑誌. 1977, 37(6), p. 578-589 |
| Version Type | VoR |
| URL | https://hdl.handle.net/11094/17182 |
| rights | |
| Note | |

Osaka University Knowledge Archive : OUKA

<https://ir.library.osaka-u.ac.jp/>

Osaka University

胃集団検診による国民線量の推定

放射線医学総合研究所、物理研究部

橋詰 雅 加藤 義雄 丸山 隆司

日本大学医学部、放射線科

鎌田 力三郎 浦橋 信吾

(昭和52年1月14日受付)

(昭和52年1月27日最終原稿受付・特別掲載)

Estimation of Population Doses from Stomach Mass Screening, 1975

Tadashi Hashizume, Yoshio Kato and Takashi Maruyama

Rikisaburo Kamata and Shingo Urahashi

Division of Physics, National Institute of Radiological Sciences, 9-1, 4-Chome,
Anagawa, Chiba, Japan, 280

Department of Radiology, Nihon University, 8,1-Chome Kanda Surugadai,
Chiyoda, Tokyo, Japan

Research Code No.: 302

Key Words: *Population dose, Medical exposure, Photofluorography,*
Mass survey

The population dose from mass photofluorography of stomach have been estimated on the basis of nation wide radiological survey. The number of photofluorographic examinations was 2.38 million for male and 1.74 million for female, with a total of 4.12 million. The gonad doses were determined with an ionization chamber, using a tissue equivalent phantom. The gonad dose for male was 10.4 mrad per examination and for female was 150 mrad per examination. The active bone marrow doses at 32 points of bone marrow in the whole body were measured with thermoluminescent dosimeter. The mean marrow dose per photofluorographic examination was 450 mrad for male and 390 mrad for female. The child expectancy factor and the leukemia significant factor were calculated based on the Vital Statistics 1975. The genetically significant dose (GSD) and *per caput* mean marrow dose (CMD) were calculated by the formulae presented from the United Nations Scientific Committee of Effects of Atomic Radiation (UNSCEAR). The resultant GSD was 0.15 mrad per person per year. The CMD was 16.5 mrad per person per year. The Leukemia significant dose (LSD) was determined by adopting a weight factor, that is Leukemia significant factor. The resultant LSD was 14.5 mrad per person per year. These population doses were compared with those from diagnostic medical X-ray examinations in 1974.

1. 緒 言

診断用X線による国民線量については既に1959年、1969年、1974年の調査にもとづく推定値

を^{1)~3)}「原子放射線の効果に関する国連科学委員会(UNSCEAR)」に報告している。その中で第1回は胃集検は全くなかつたが、第2回には約180

万件あつた。第3回は調査対象が一般患者のみに限定したため、集検は全て除外した報告書となつている。

胃癌の発生は国によつて大きな差があり、日本を始めチー等数カ国が異常に高い値を示している。そのため日本での上部消化器のX線検査は集検を除外しても、1974では年間1,200万件、撮影枚数は8,000万枚⁴⁾にもなり、人口1,000人当りの骨髄のCollective dose⁵⁾は英国の18倍、オランダの40倍にもなつてゐる。一方地方自治体を始め各企業は胃癌の早期発見のため胃の集団検診の拡大に力を入れており、国民線量の増大は容易ならぬものを感じさせられるに至つた。

集団検診の対象者は大部分が健康人であるため、1975年のUNSCEARでも大きな関心をよせている。厚生省を始め関係各機関でもその適正化について検討を始めているし、医学放射線学会でも学問的な裏付けのある態度を表明する必要があると思われる。本調査研究がこれ等の問題の資料となれば幸いである。

2. 調査方法

集団検診としては間接撮影によるスクリーニングと、その結果によつておこなう精密検査があるが、後者は既に一般患者の調査⁴⁾で補捉されているので、今回は前者のみを対象とした。

(1) 調査対象施設

胃集検をおこなつている施設については、日本

胃集団検診学会が大部分把握しており、同学会の発行している全国集計調査対象機関名簿⁶⁾に掲載されている。この名簿にある施設を次の4グループに別けて調査した。なおこの名簿にない施設が45あつたので、これは別途調査してDグループとした。

- A-1 各県にある「対がん協会」
- A-2 対がん協会がないか、あつてもX線検査をやつていない県の衛生部
- B 胃集検学会名簿にあるもので、上記Aに報告していない施設のなかで地域集検を対象にしている施設
- C 同上職域を対象にしている施設
- D 上記のどれにも入らず、独自でおこなつている施設

上記5グループの合計は778施設であつた。AとDについては全数を調査し、BとCについては無作為に20%抽出した、合計229施設を調査した。その調査施設数、回答施設数等をTable 1に示す。

(2) 調査項目

調査は2回に別けておこなつた。第1回目の調査は昭和50年1月から12月までの1年間におこなつた胃集検のための間接撮影件数の性別、年齢(5歳間隔)別頻度分布、ならびに1件あたりの平均撮影回数と、その体位である。これに対する回答は191施設(回答率83%強)であつた。第2

Table 1. The details of the size of samples for the nation wide radiological survey

| Group of Facilities | All Facilities (X) | Sampled Facilities (Y) | Answered Facilities (Z) | Ratio (Y/X) | Ratio (Z/Y) |
|---------------------|--------------------|------------------------|-------------------------|-------------|-------------|
| A-1 | 35 | 35 | 35 | 1.00 | 1.00 |
| A-2 | 12 | 12 | 12 | 1.00 | 1.00 |
| B | 489 | 98 | 74 | 0.20 | 0.76 |
| C | 197 | 39 | 30 | 0.20 | 0.77 |
| D | 45 | 45 | 40 | 1.00 | 0.81 |

A-1; Japan Cancer Society

A-2; Department of Public Health in Prefecture

B; Mass Screening Association (membership list by regional groups)

C; Mass Screening Association (membership list classified by occupations)

D; Others

| | | | | | |
|---|-------------------|-------------------------|--|--|--|
| (1) Radiography | | | | | |
| 1 Image system | | | | | |
| (1) Lens Camera | (2) Miller Camera | | (3) Image Intensifier | | |
| (4) High resolution Image Intensifier | | | (5) Others | | |
| 2 X-ray tube equipment | | | | | |
| (1) Over tube | (2) Under tube | | | | |
| 3 Focus-Fluoroscopic screen distance. | | | □□□ cm | | |
| 4 Field size (at Fluoroscopic screen) | | | □□×□□ cm, □□ cm ϕ | | |
| 5 Exposure factors | | | | | |
| PA | | Tube voltage □□□ kV | Tube current □□□ mAs or Photo-timer | | |
| Obliqui | | □□□ kV | □□□ mAs or Photo-timer | | |
| 6 Position | | | | | |
| (1) Upright Position Postero-Anterior Ba Filling method | | | (UPAF) | | |
| (2) Upright Left Anterior Oblique Barium Filling method | | | (ULO) | | |
| (3) Prone Position A-P Ba Filling method | | | (APF) | | |
| (4) Supine Position P-A Double Contrast method | | | (PAD) | | |
| (5) Supine Position Left Anteriol Oblique Ba Filling method | | | (LOF) | | |
| (6) Supine Position Right Anteriol. Oblique Ba Filling method | | | (ROF) | | |
| (7) Prone Position A-P Mucosal method | | | (APM) | | |
| (8) Others | | | | | |
| (2) Fluoscopy | | | | | |
| 1 Time □□□ sec | | | | | |
| 2 Mean field size □□×□□ cm, □□ cm ϕ | | | | | |
| 3 Image system | | | | | |
| (1) Image Intensifier. | | (2) Fluoroscopic screen | | | |
| 4 Fluoroscopic factor | | | | | |
| (1) Tube voltage □□□ kV | | (2) Tube current □□ mA | | | |
| (3) Focus-Fluoroscopic screen distance | | □□□ cm | | | |

Fig. 1. Form of questionnaires for photofluorographic factor

回目の調査は第1回の回答のあつた施設から無作為に25% (48施設) を抽出して照射条件を調査し、38施設から回答を得た (81%). その調査表を Fig. 1 に示す。

3. 調査結果

(1) 撮影件数

各グループ別 (A～D) の昭和50年中における性別、年齢別の撮影件数は Table 2 の如くなる。但し B, C, D グループについては回答数を回答率で割り、さらに B, C グループについてはそれを5倍 (抽出率の逆数) している。Table 2 に示すように年間の間接撮影の件数は男 238万件、女 174万件でいづれも40～49歳のグループが最も多い。

(2) 平均撮影枚数

撮影枚数の回答のあつた 115施設 (50%) の合計の撮影枚数は 670枚で 1 施設の 1 件あたりの平均撮影枚数は 5.82枚となつた。そのグループ別、枚数別の頻度を Table 3 に示す。

(3) 撮影体位

撮影体位について回答のあつた 74施設 (32%) では、立位正面充満 (立正充) が最も多く、つづいて腹臥位正面充満、背臥位二重造影撮影であつた。体位別の頻度分布を Table 4 に示す。

(4) 撮影管電圧

管電圧については回答のあつた 38施設の中、最も多かつたのは 110kV であつた。施設による管電圧の使用頻度分布を Table 5 に示す。平均の管電圧は約 103kV であつた。

(5) 記録系

Table 2 The annual number of photofluorographic examinations in Japan (1975)

| Male group | Age | | | | | | | | | | | Total |
|--------------|-------|--------|--------|---------|---------|---------|---------|---------|---------|---------|--------|-----------|
| | <19 | -24 | -29 | -34 | -39 | -44 | -49 | -54 | -59 | -69 | 70< | |
| A | 427 | 4,637 | 30,742 | 57,896 | 133,066 | 213,629 | 216,772 | 157,156 | 100,161 | 99,035 | 31,135 | 1,044,656 |
| B | 3,185 | 11,148 | 13,223 | 40,950 | 94,001 | 126,631 | 129,823 | 107,078 | 67,383 | 75,068 | 14,207 | 682,697 |
| C | 328 | 1,100 | 10,591 | 14,583 | 39,524 | 75,358 | 73,093 | 53,519 | 29,619 | 15,148 | 2,055 | 314,918 |
| D | 774 | 5,295 | 16,305 | 22,663 | 43,500 | 76,957 | 77,110 | 51,456 | 26,805 | 16,368 | 4,408 | 341,641 |
| Total | 4,714 | 22,180 | 70,861 | 136,092 | 310,091 | 492,575 | 496,798 | 369,209 | 273,968 | 205,619 | 51,805 | 2,383,912 |
| Female group | | | | | | | | | | | | |
| A | 340 | 2,566 | 12,117 | 46,499 | 121,536 | 179,436 | 176,699 | 149,936 | 108,014 | 120,953 | 27,040 | 945,136 |
| B | 1,300 | 5,882 | 13,150 | 39,391 | 73,298 | 108,954 | 113,937 | 100,648 | 65,896 | 70,039 | 9,674 | 602,169 |
| C | 230 | 520 | 2,049 | 3,033 | 6,840 | 14,747 | 13,460 | 9,094 | 6,073 | 3,972 | 256 | 60,274 |
| D | 387 | 2,160 | 2,736 | 5,972 | 14,871 | 28,135 | 27,194 | 19,458 | 13,231 | 12,489 | 2,721 | 129,354 |
| Total | 2,257 | 11,128 | 30,052 | 94,895 | 216,545 | 331,272 | 331,290 | 279,136 | 193,214 | 207,453 | 39,691 | 1,736,933 |

Table 3 The number of exposure per photofluorographic examination.

| group | exposure/examination | | | | | | | | Total | mean |
|-------|----------------------|---|-----|-----|----|----|----|----|-------|------|
| | 4 | 5 | 6 | 7 | 8 | 9 | 10 | 12 | | |
| A | Facilities | | 15 | 19 | 1 | | | | 35 | 5.60 |
| | exposure | | 75 | 114 | 7 | | | | 196 | |
| B | Facilities | 1 | 16 | 18 | 1 | 1 | 1 | | 1 | 5.84 |
| | exposure | 4 | 80 | 108 | 7 | 8 | 9 | | 12 | |
| C | Facilities | | 6 | 11 | 1 | 4 | | 1 | 23 | 6.30 |
| | exposure | | 30 | 66 | 7 | 32 | | 10 | 145 | |
| D | Facilities | | 8 | 9 | 1 | | | | 18 | 5.60 |
| | exposure | | 40 | 54 | 7 | | | | 101 | |
| Total | Facilities | 1 | 45 | 57 | 4 | 5 | 1 | 1 | 115 | 5.82 |
| | exposure | 4 | 225 | 342 | 28 | 40 | 9 | 10 | 12 | |

Table 4 Frequency of radiographic method

| group | method | | | | | | | | total |
|-------|--------|------|------|------|------|------|------|--------|-------|
| | UPAF | ULO | APF | PAD | LOF | ROF | APM | others | |
| A | 39 | 29 | 28 | 30 | 28 | 9 | 6 | 23 | 192 |
| B, C | 41 | 34 | 38 | 34 | 28 | 21 | 11 | 32 | 239 |
| total | 80 | 63 | 66 | 64 | 56 | 30 | 17 | 55 | 431 |
| rate | 0.19 | 0.15 | 0.15 | 0.15 | 0.13 | 0.07 | 0.04 | 0.12 | 1.00 |

U: Upright

O: Oblique

M: Mucosal

R: Right

F: Filling

PA: Postero-Anterior

L: Left

D: double contrast

AP: Antero-Posterior

Table 5 Frequency of tube voltage

| Tube voltage (kV) | > 120 | 110 | 100 | 90 | 80 | 70 |
|-------------------|-------|-----|-----|----|----|----|
| Facilities | 8 | 18 | 4 | 1 | 4 | 3 |

Table 6 Frequency of image system

| Image system | Lens | Miller | II | HI. II | Total |
|--------------|------|--------|------|--------|-------|
| Facilities | 2 | 26 | 5 | 4 | 37 |
| Rate | 0.05 | 0.70 | 0.14 | 0.11 | 1.00 |

Lens; Lens Camera, Miller; Miller Camera, II; Image Intensifier, HI. II; High Resolution Image Intensifier.

Table 7 The position of center axis in X-ray beam

| | UPAF | UPAM | APM | APF | PAF | PAO |
|------------------------------|------|------|------|------|------|------|
| Number of Film | 99 | 100 | 98 | 50 | 100 | 99 |
| Position of Lumbar vertebrae | 2.2 | 2.1 | 1.1 | 1.2 | 1.4 | 1.2 |
| Standard Deviation | 0.99 | 0.99 | 0.94 | 0.91 | 0.95 | 0.87 |

Table 8 Conditions of fluoroscopy

| Image system | FFD (cm) | kV | mA | Time (sec) | FU |
|---------------------|----------|----|------|------------|------|
| Fluoroscopic screen | 50 | 90 | 1 | 59 | 0.75 |
| Image Intensifier | 80 | 70 | 0.35 | 89 | 0.25 |

FFD: Focus-Fluoroscopic screen Distance

FU: Frequency in use

撮影について回答のあつた37施設ではミラーカメラが最も多く全体の72%を占めており、レンズカメラは僅か2施設であつた。その頻度分布をTable 6に示す。

(6) 照射野

回答のあつた36施設の平均照射野は 940cm^2 で正方形にすると1辺が 30.6cm となつた。なお最小は直径9インチの円、最大は $45\times 45\text{cm}^2$ の正方形であつた。

(7) 照射野の中心の位置

550枚の間接撮影フィルムをTable 7の如く6体位に別け照射野の中心を腰椎の高さで表わした。第1腰椎の中心を基点(0)として脊椎の中心から中心までの間隔を1とし、その間を10等分

して表示すると照射野の中心はTable 7の如く、立位では第2腰椎のやや下、臥位では第1腰椎のやや下となつた。

(8) 透視条件

位置決めのための透視では、蛍光板(レンズとミラーカメラ)とImage IntensifierとではTable 8に示すように大きく異なつてゐる。透視時間は蛍光板使用24施設の平均透視時間 T_1 は59秒で、その標準偏差は36秒、II 使用8施設の平均透視時間 T_2 は89秒で標準偏差は75秒であつた。

透視の平均時間 T は上記の T_i の値とTable 8の使用率 q_i との積和($\sum T_i \cdot q_i$)から66.2秒となつた。

4. 線量

(1) 照射線量

(i) 撮影 大部分の施設がフォトタイムを使用しているため、実験室でファントムを使用して線量を推定することが困難であった。そのため TLD 素子（極光 MSO）を各施設に郵送し、これを各施設で三種類の腹厚の人の背中の照射野の中心に貼付して立位正面充満の条件で照射したものを返送してもらい、放研で線量を推定した。その結果を Table 9 に示す。

平均照射線量 (\bar{R}) は腹厚18~19cm の人の値 (E_i) と Table 6 の各記録系の使用頻度 (p_i) から $\bar{R} = \sum p_i E_i$ を求めると $1.54 R$ となる。なお、斜位では約 1.2倍、臥位では約 0.8倍となる。

(ii) 透視 Table 8 の透視条件にしたがつてファントムをおいたとき、その照射野中心の皮膚表面での照射線量 (R') を TLD で測定した結果、蛍光板透視の条件で $2.6 R$ 、II のとき $0.54 R$ となつた。従つて、平均透視照射線量 (\bar{R}') は 3—(8)で示された蛍光板と II 透視の使用率から $2.1 R$ となつた。

(2) 生殖腺線量

(i) 撮影

(a) 1 Rあたりの生殖腺線量 X線管照点から45cm の距離に M_{ix}DP 製のファントム (50×30×18cm) をおき、透過面での照射野を30×30cm として、Fig. 2 の如き配置で管電圧を70kV および 100kV で照射したときの A、B および C 点の線量を内径 0.6cm、長さ 2.5cm の電離箱で測定した。A および B 点は睾丸線量を推定するために設けられた測定点で、ファントム端の表面および中心点に相当する。C 点は卵巣線量を推定するた

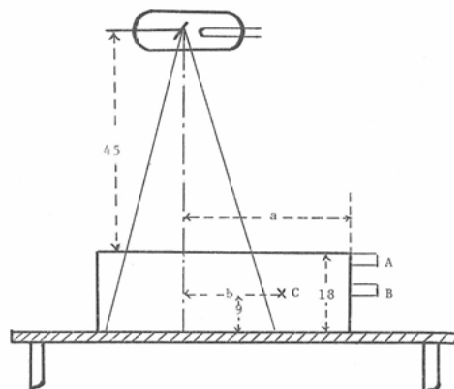


Fig. 2 Geometry of Irradiation (cm)

めの測定点である。これらの測定点で測定された結果を Table 10 に示す。ここで照射野の中心を第2腰椎としたときは $a=30\text{cm}$, $b=16\text{cm}$, 第4腰椎としたときは $a=25\text{cm}$, $b=11\text{cm}$ とした。

(b) 1 Rあたりの平均生殖腺線量 Table 4 の被検者の体位の頻度分布 (p_i) と 3—(7)で求めた照射野の中心の位置、さらに実態調査から得られた平均の管電圧 (103kV) などを考慮して、Table 10 の実験値から各体位における生殖腺線量を推定すると Table 11 の如くなる。

Table 11 から 1 回の撮影による平均生殖腺線量 $\bar{g}\bar{d}$ は $\sum p_i \cdot g_i d_i$ となり、男が 1.06mR 女が 15mR となる。これにラド換算係数 0.915を掛け、吸収線量は男 ($g\bar{d}^{(M)}$) が 0.96mrad 、女 ($g\bar{d}^{(F)}$) が 14mrad となる。

(ii) 透視 透視の場合の管電圧は Table 8 の如く蛍光板で 90kV 、II で 70kV である。Table 10, 11 の値から 1 Rあたりの生殖腺線量は 90kV

Table 9 Exposure at the skin of center beam (R)

| Thickness of body | Image system | | | | | | |
|-------------------|--------------|----------|-----------|----------|-----------|----------|-----------|
| | Miller | | II | | HI. II | | Lens |
| | \bar{x} | σ | \bar{x} | σ | \bar{x} | σ | \bar{x} |
| 15~16 cm | 1.39 | 0.8 | 0.06 | 0.02 | 0.04 | — | 1.62 |
| 18~19 cm | 2.04 | 1.37 | 0.11 | 0.04 | 0.05 | 0.01 | 2.18 |
| 20~21 cm | 2.89 | 0.95 | 0.36 | — | 0.09 | 0.05 | 3.65 |

Table 10 Gonad dose per exposure at skin (mR/R)

| Tube voltage (kV) | 100 | | | 70 | |
|-----------------------|--------|------|------|-----|------|
| | L—I | L—II | L—IV | L—I | L—IV |
| D _A | (0.60) | 1.2 | 4.6 | 0.7 | 3.1 |
| D _B | (1.00) | 1.9 | 9.8 | 1.4 | 6.8 |
| $\frac{D_A + D_B}{2}$ | (0.80) | 1.55 | 7.2 | 1.1 | 5.0 |
| D _C | (15) | 31 | 132 | 18 | 95 |

The value of L—I are estimated from the value of L—II and L—IV

Table 11 Gonad dose by type of position

| Position | UPAF | ULO | APF | PAD | LOF | ROF | APM | Others | $\sum p_i \cdot g d_i$ |
|---|------|------|------|------|------|------|------|--------|------------------------|
| Frequency (P _i) | 0.19 | 0.15 | 0.15 | 0.15 | 0.13 | 0.07 | 0.04 | 0.12 | |
| Testis (_g d _i ^(M)) | 1.60 | 1.85 | 0.60 | 0.65 | 0.82 | 0.82 | 0.50 | 0.90 | 1.06 |
| Ovary (_g d _i ^(F)) | 21 | 26 | 10 | 10 | 11 | 11 | 8 | 14 | 15 |

で男0.96, 女13mR, 70kV で男0.70, 女 9.5mR となる。これ等にラド換算係数 0.915を掛けてそれぞれ90kV で男0.88, 女12, 70kV で男0.64, 女 8.7mrad となる。

(iii) 1 件あたりの平均生殖腺線量 (d_g)

(a) 撮影 1 Rあたりの生殖腺線量 (gd), 平均照射線量 (\bar{R}) と平均撮影枚数 n とから、1 件あたりの生殖腺線量 (_gd) は _gd = $\bar{R} \cdot n$ で求められる。これ等は既に 4—(2) (b), 4—(1) (i), 3—(2) によつて求められた。^(M)gd = 0.96 mrad, ^(F)gd = 14mrad, \bar{R} = 1.54R, n = 5.82回から ^(M)gd = 8.6mrad, ^(F)gd = 125mrad となる。

(b) 透視 4—(2) (ii) で求められた 1 Rあたりの平均生殖腺線量 (_gd') と、4—(i) (ii) で求められた 1 件あたりの照射線量 \bar{R}' と 3—(8) の蛍光板 (90kV) と II (70kV) の透視の使用頻度分布 (p_i) から位置決め透視による 1 件あたりの平均生殖腺線 (_gd') は _gd', \bar{R}' , p_i の積の和から男 (^(M)gd') が 1.8mrad, 女 (^(F)gd) が 25mrad となる。

(c) 平均生殖腺線量 1 件あたりの平均生殖腺線量 (d_g) は上記の撮影の線量 (_gd) と透視

の線量 (_gd') の和となり、男 (^(M)gd) が 10.4 mrad, 女 (^(F)gd) が 150mrad となる。

(3) 骨髄線量

(i) 撮影

(a) 1 Rあたりの骨髄線量 大きさ 60×30×25cm のポリエチレンの容器に Table 12 に示すような部位に TLD 検出器を 33 個入れた骨を入れ、深さ 18cm まで水を入れ、X 線管焦点から水面までの距離を 45cm とし、ファントムの下面で照射野が 30×30cm になるように線束を絞る。管電圧 100kV と 70kV のそれぞれに対して、ビームの中心を第 2, 第 4 腰椎にして X 線を照射したときの水面における照射線量と骨髄中の吸収線量を TLD にし測定し、骨髄線量 (md) を次式によつて算出した。

$$md = \frac{\sum M_i \cdot A_i}{\sum A_i} \quad (1)$$

ここで M_i は各検出器が代表する骨髄の重さ、A_i は各検出器によつて測定された線量、なお $\sum M_i$ は 765g⁷⁸ とした。照射線量 1 Rあたりの md の値を各部位別に示すと Table 13 の如くなる。

(b) 1 Rあたりの平均骨髄線量 Table 4 に

Table 12 Bone marrow distribution for Japanese⁸⁾ and number of detectors (TLD).

| Part | Bone marrow weight (g) | Number of detectors |
|--------------------|------------------------|---------------------|
| Cervical vertebrae | 22.3 | 1 |
| Sternum | 20.6 | 1 |
| Scapulae | 16.7 | 1 |
| Clavicle | 5.6 | 1 |
| Ribs | 104.5 | 7 |
| Thoracic vertebrae | 101.0 | 7 |
| Lumbar vertebrae | 85.8 | 5 |
| Sacral vertebrae | 65.8 | 2 |
| Iliac bone | 170.2 | 8 |
| Total | | 33 |

Table 13 Bone marrow dose per exposure at skin (mR/R)

| Tube voltage (kV) | 100 | | | 70 | |
|-------------------|------|------|------|------|------|
| | L-I | L-II | L-IV | L-II | L-IV |
| UAPAF | (40) | 46 | 69 | 33 | 49 |
| UAPF | (34) | 37 | 33 | 19 | 21 |
| PAF | (32) | 37 | 55 | 27 | 40 |
| APF | (27) | 30 | 26 | 15 | 17 |
| SO | (48) | 55 | 83 | 41 | 59 |

The values of L-I were estimated from the L-II and L-IV values.

Table 14 Bone marrow by type of position

| Position | UPAF | ULO | APF | PAD | LOF | ROF | APM | Others | $\sum p_i d_i$ |
|----------------------------|------|------|------|------|------|------|------|--------|----------------|
| Frequency (p_i) | 0.19 | 0.15 | 0.15 | 0.15 | 0.13 | 0.07 | 0.04 | 0.12 | |
| Bone marrow dese (d_i) | 48 | 57 | 28 | 33 | 50 | 50 | 25 | 37 | 42 |

U; Upright, O; Oblique, M; Mucosal, R; Right, F; Filling, PA; Postero-Anterior; L; Left, D; Double Contrast, AP; Antero-Posterior,

より体位別の撮影頻度と3—(7)の照射野の中心を考慮したTable 13の骨髓線量を考慮して、実態調査によつて求められた各体位の線量を推定すると100kVのときTable 14の如くなる。この表の p_i と d_i の積の和から1回の撮影の平均骨髓線量(\bar{md})は42mradとなる。女性の場合は身長、体重を考慮して男性の0.87倍とした。

(ii) 透視

透視の場合の骨髓線量はTable 8の如く蛍光板

で90kV, IIで70kV, その頻度は0.75と0.25である。各体位について位置決めのための透視がおこなわれるので、その頻度は撮影の場合と同じと考え骨髓線量(md')は90kVで36mrad, 70kVで27mradとした。この値を前記の両者の頻度分布から、1Rあたりの透視の平均骨髓線量(\bar{md}')を男性34mrad, 女性はその0.87倍とした。

(iii) 1件あたりの平均骨髓線量(dm)

(a) 撮影 4—(3) (i) bで求められた

Table 15 Child expectancy and future number of children in the population by age-group

| | Age-group (years old) | Population N_k | Child expectancy $W_k (W_{jk})$ | Future number of children $N_k W_k$ |
|--------|--------------------------|-----------------------|------------------------------------|--|
| Male | 0 — 14 | $13,546 \times 10^3$ | 2.209 | $29,923 \times 10^3$ |
| | 15 — 19 | 4,150 | 2.209 | 9,167 |
| | 20 — 24 | 5,135 | 2.176 | 11,174 |
| | 25 — 29 | 4,737 | 1.671 | 7,916 |
| | 30 — 34 | 4,441 | 0.600 | 2,664 |
| | 35 — 39 | 4,211 | 0.178 | 749 |
| | 40 — 44 | 3,973 | 0.048 | 191 |
| | 45 — 49 | 3,346 | 0.016 | 54 |
| | 50 — 54 | 2,305 | 0.005 | 12 |
| | 55 — 59 | 2,501 | 0.0016 | 3 |
| | 60 — 64 | 1,868 | 0.0004 | 0.7 |
| | 65 — 69 | 1,459 | 0.0002 | 0.3 |
| | 70 — 74 | 1,093 | 0.0001 | 0.1 |
| | 75 — | 1,005 | 0.00003 | 0.03 |
| | Subtotal | $53,320 \times 10^3$ | | $61,855 \times 10^3$ |
| Female | 0 — 14 | 12,890 | 2.105 | 33,448 |
| | 15 — 19 | 4,017 | 2.105 | 8,456 |
| | 20 — 24 | 5,162 | 1.997 | 10,309 |
| | 25 — 29 | 4,825 | 1.128 | 5,443 |
| | 30 — 34 | 4,500 | 0.275 | 1,238 |
| | 35 — 39 | 4,234 | 0.046 | 195 |
| | 40 — 44 | 3,559 | 0.0044 | 16 |
| | 45 — 49 | 3,518 | 0.00012 | 0.4 |
| | 50 — 54 | 2,959 | 0.000000 | |
| | 55 — | 9,316 | | |
| | Subtotal | $54,980 \times 10^3$ | | $59,105 \times 10^3$ |
| | Total | $108,300 \times 10^3$ | | $120,960 \times 10^3$ |

1 Rあたりの平均骨髓線量、男 ($^{(M)}\bar{m}$) 42mrad, 女 ($^{(F)}\bar{m}$) 36.5mrad と 4—(1) (i) で求められた平均照射線量 ($\bar{R}=1.54R$) に 1 件あたりの平均照射枚数 (n) 5.82回から、1 件あたりの平均骨髓線量 (d_m) は $\bar{m} \cdot R \cdot n$ で求むられ、男 $^{(M)}d_m = 376$ mrad, 女 $^{(F)}d_m = 327$ mrad となる。

(b) 透視 4—(3) (ii) で求められた 1 Rあたりの平均骨髓線量 ($m\bar{d}$) と 4—(1)(ii) で求められた照射線量 (\bar{R}') と実態調査による 3—(8) の蛍光板と II 透視の頻度分布の (p_i) から、位置決め透視による 1 件あたりの平均骨髓線量 ($m\bar{d}'$) は $m\bar{d}' = \bar{R}' \cdot p_i$ の積の和から男 ($^{(M)}m\bar{d}'$) 74mrad, 女 ($^{(F)}m\bar{d}'$) 64mrad となる。

(c) 平均骨髓線量 1 件あたりの平均骨髓線

量 (d_m) は上記の撮影の線量 ($m\bar{d}$) と透視の線量 ($m\bar{d}'$) の和となり、男 ($d_m^{(M)}$) 450 mrad, 女 ($d_m^{(F)}$) 390mrad となる。

5. 国民線量の推定

胃集検（間接）による国民線量の対象として遺伝有意線量、骨髓線量と白血病有意線量を推定し、さらに皮膚線量についても算出する。

(1) 遺伝有意線量 (GSD)

GSD (D_G) は1962年「国連原子放射線の効果に関する科学委員会 (UNSCEAR)」⁹⁾ から提出されている (2) 式によつて求める。

$$D_G = \frac{\sum_j \sum_k (N_{jk}^{(M)} W_{jk}^{(M)} d_{jk}^{(M)} + N_{jk}^{(F)} W_{jk}^{(F)} d_{jk}^{(F)})}{\sum_k (N_k^{(M)} W_k^{(M)} + N_k^{(F)} W_k^{(F)})} \quad (2)$$

ここで、

D_G =年間の遺伝有意線量

$N_{jk}=j$ タイプの照射を受けた k 年齢層の人の数

$N_k=k$ 年齢層の人口

$W_{jk}=j$ タイプの照射を受けた k 年齢層の人に将来期待される子供の数（子供期待数）

$W_k=k$ 年齢層の人に将来期待される子供の数（子供期待数）

$d_{jk}=j$ タイプの照射を受けた k 年齢層の人の1回の照射あたりの生殖腺線量

(F) および (M) はそれぞれ「女性」および「男性」を表わす。

N_{jk} は Table 2 の値を使用する。

W_k は1974年の人口統計³⁾から算出した Table 15に示す値を用いる。これ等の値を第2式に入れて計算すると GSD は男性で 0.03mrad per person per year, 女性で 0.124mrad per person per year となり, GSD は合計 0.154mrad per person per year となる。

(1) 平均骨髓線量と白血病有意線量

放射線による白血病発生のメカニズムは解明されていないが、造血臓器、特に赤色髄がこれに関連していると考えられており、USCEAR の報告書では集団1人当たりの平均骨髓線量 (D_M) を3式で計算するように論案されている¹⁰⁾。

$$D_M = \frac{\sum \sum (N_{jk}^{(M)} d_{jk}^{(M)} + N_{jk}^{(F)} d_{jk}^{(F)})}{\sum (N_k^{(M)} + N_k^{(F)})} \quad (3)$$

この外に白血病発生因子 (L_k) を考慮した白血病有意線量 (D_L) を第4式によつて計算した。

$$D_L = \frac{\sum \sum (N_{jk}^{(M)} d_{jk}^{(M)} L_{jk}^{(M)} + N_{jk}^{(F)} d_{jk}^{(F)} L_{jk}^{(F)})}{\sum (N_k^{(M)} L_{jk}^{(M)} + N_k^{(F)} L_{jk}^{(F)})} \quad (4)$$

(3) (4) 式で N_{jk} , N_k , (M) および (F) は (2) 式と同じ、 d_{jk} は間接撮影を受けた人の骨髓線量で 4—(3) (iii) に述べた。また、白血病有意率 L_{jk} は各年齢層の人の平均余命と広島、

長崎での被曝後の白血病発生頻度から求めた⁸⁾ もので、その値を Table 16 に示す。

これ等の値を (3) および (4) 式に入れて計算した結果、男性、女性の平均骨髓線量および白血病有意線量はそれぞれ次の如くなつた。

$$D_M^{(M)} = 10.2 \text{ mrad per person per year}$$

$$D_M^{(F)} = 6.3 \text{ mrad per person per year}$$

$$D_L^{(M)} = 8.8 \text{ mrad per person per year}$$

$$D_L^{(F)} = 5.7 \text{ mrad per person per year}$$

(3) 皮膚線量

被検者の X 線入射面で、利用線錐中心での平均照射線量は 4—(1) により、撮影1回あたり 1.54 R, 透視1件あたり 2.1 R である。第1次蛍光面での照射野が $30 \times 30 \text{ cm}^2$ とすれば、被検者の

Table 16 Leukemia Significant FActor, L_{jk}

| Age group | Male | Female |
|-----------|------|--------|
| 0 — 2 | 0.98 | 0.98 |
| 3 — 7 | 0.99 | 1.00 |
| 8 — 14 | 0.99 | 1.00 |
| 15 — 19 | 0.99 | 0.99 |
| 20 — 24 | 0.99 | 0.99 |
| 25 — 29 | 0.98 | 0.99 |
| 30 — 34 | 0.97 | 0.98 |
| 35 — 39 | 0.96 | 0.98 |
| 40 — 44 | 0.94 | 0.97 |
| 45 — 49 | 0.91 | 0.95 |
| 50 — 54 | 0.85 | 0.91 |
| 55 — 59 | 0.78 | 0.87 |
| 60 — 64 | 0.70 | 0.80 |
| 65 — 69 | 0.58 | 0.70 |
| 70 — 74 | 0.41 | 0.58 |
| 75 — | 0.28 | 0.40 |

X 線入射面での面積は約 $20 \times 20 \text{ cm}^2$ となる。胃集検1件あたりの撮影回数を 5.82 回とすれば、1 件あたり皮膚の受ける線量は撮影で $3,585 \text{ R} \cdot \text{cm}^2$ となる。同様に、透視では $840 \text{ R} \cdot \text{cm}^2$ となるすなわち、胃集検を1回受けると撮影と透視との合計で $0.44 \text{ R} \cdot \text{m}^2$ の照射線量を皮膚が受けたことになる。年間 412 万件の X 線間接撮影による胃集検によつて、照射された皮膚の線量は $1.8 \times 10^6 \text{ R} \cdot \text{m}^2$ となり、日本の人口を 1.1 億人とすれば国民 1 人

Table 17. Genetically significant dose (GSD), per Caputmean bone marrow dose (CMD), Leukemia significant dose (LSD) from stomach mass survey

| age group(yr) | | -19 | -24 | -29 | -34 | -39 | -44 | -49 | -54 | -59 | -69 | 70- | total |
|--------------------------|-----|-------|------|------|------|------|------|------|------|------|-------|--------|-------|
| GSD μ rad per person | M* | 0.89 | 4.15 | 10.2 | 7.0 | 4.7 | 2.0 | 0.68 | 0.16 | 0.03 | 0.005 | 0.0004 | 30 |
| per year | F** | 6.0 | 28 | 42 | 33 | 12.5 | 1.83 | 0.05 | — | — | — | — | 123 |
| total | | 6.9 | 32 | 52 | 40 | 17.2 | 3.8 | 0.73 | 0.16 | 0.03 | 0.005 | 0.0004 | 153 |
| CMD, mrad per person | M | 0.02 | 0.09 | 0.30 | 0.57 | 1.30 | 2.07 | 2.08 | 1.54 | 1.15 | 0.86 | 0.22 | 10.2 |
| per year | F | 0.008 | 0.04 | 0.11 | 0.34 | 0.79 | 1.20 | 1.20 | 1.01 | 0.70 | 0.75 | 0.14 | 6.3 |
| total | | 0.03 | 0.13 | 0.41 | 0.91 | 2.1 | 3.3 | 3.3 | 2.5 | 1.9 | 1.6 | 0.36 | 16.5 |
| LSD, mrad per person | M | 0.02 | 0.09 | 0.29 | 0.55 | 1.25 | 1.95 | 1.89 | 1.31 | 0.90 | 0.55 | 0.09 | 8.9 |
| per year | F | 0.008 | 0.04 | 0.11 | 0.33 | 0.77 | 1.16 | 1.14 | 0.91 | 0.60 | 0.56 | 0.07 | 5.7 |
| total | | 0.03 | 0.13 | 0.40 | 0.88 | 2.0 | 3.1 | 3.0 | 2.2 | 1.5 | 1.1 | 0.16 | 14.6 |

M*=Male

F**=Female

Table 18 Comparison of Population Dose (mrad per person per year)

| Examination | GSD | | | CMD | | | LSD | | |
|-------------------|------|--------|-------|------|--------|-------|------|--------|-------|
| | male | female | total | male | female | total | male | female | total |
| Radiography* | 6.38 | 4.72 | 11.10 | 21.1 | 15.9 | 37.0 | 18.1 | 14.0 | 32.1 |
| Fluoroscopy* | 1.45 | 3.98 | 5.43 | 38.6 | 31.4 | 70.0 | 33.2 | 28.0 | 61.2 |
| Photofluorography | 0.03 | 0.12 | 0.15 | 10.2 | 6.3 | 16.5 | 8.9 | 5.6 | 14.5 |

* Data in 1974

あたり年間 $16.5\text{mR}\cdot\text{m}^2$ となる。皮膚線量としてはさらにX線の透過側にある皮膚も考慮しなければならない。日本人の平均の腹厚を 18cm とすれば、人体透過率は0.075であることが実験から推定された。従つて、X線の入射および射出面の両方を考慮した全皮膚線量は約 $18\text{mR}\cdot\text{m}^2$ となる。

皮膚癌の決定臓器は全身の皮膚とし、このような低線量による皮膚癌の発生が皮膚面での面積で重みづけられた線量 $\text{mR}\cdot\text{m}^2$ に比例すると仮定すれば、職業被曝のように全身被曝を1点で測定している値と対応する線量としては、上記の $\text{mR}\cdot\text{m}^2$ を全身の皮膚面積で除した値を採用すべきである。近似計算によれば、例えば、身長 162cm 、体重 55kg の人の体表面積は約 1.6m^2 である。この値を用いれば、全身被曝に対応する胃集検での皮

膚線量は $18 / 1.6 = 11.2\text{mR}$ となる。

6. 考 察

(1) 胃集検による間接撮影の件数は前回の調査(1969年)で183万件であつたものが今回(1975年)は412万件と大幅に増加した。これは胃癌の早期発見について各方面で努力されているためと思われるが、現状では胃集検により利益と損失について適正な評価がされていないので、至急解決すべき23の問題がある。

(2) 性別、年齢別によるGSD、LSDへの負荷量を示すとTable 17の如くなる。男女の比率はLSDでは余り変わらないがGSDでは男が80%近くに占めている。最も線量の多い年齢層はLSDでは男女とも40~44歳、GSDでは25~29歳である。

特に GSD では35歳未満の占める線量が76%にもなつてゐる。若年層は発癌率の少ないことも考慮し至急対策をたてる必要がある。

(3) 撮影の大部分はフォトタイマを使用しているが、照射線量のバラツキが非常に大きい。これは胃の位置による個人差と、必要以上に高い比率のリストルム、ブレンデの使用によると思われる。

(4) ミラーカメラに比較して II (Image Intensifier) は照射線量が1/20、高解像 II (CsI) は1/40でよい。前者は解像力に難点があるが、後者は鮮鋭度でもすぐれているので、早急にこれに移行させる必要がある。

(5) 一般の診断における撮影と透視による GSD と LSD の比較を Table 18に示す。胃間接撮影による線量は GSD では撮影の14%であるが、LSD では45%にも達している。胃集検の今後の動向には十分注意が必要である。

7. 結 論

胃癌の早期発見のため最近胃の集団検診が急激に増加し、1975年には1969年の2倍以上の412万件になつた。それにもないX線による遺伝有意線量は0.15mrad per person per year となり、日本全国における一般X線診断による線量の14%，白血病有意線量は14.5mrad per person per year で同一般X線診断の45%にも達している。特に胃癌の発生率の少ない35歳未満の人達による GSD が胃集検による GSD の75%にもおよんでいることは問題がある。撮影装置も旧式なミラーカメラが未だに70%以上を占めており、必要以上に線量を大きくしているので、この面でも至急対策をたてる必要がある。

本研究の実態調査は科学技術庁の実態調査費、線量推

定は厚生省のがん助成金の援助によつたものである、又医師会、放射線技師会の協力に謝意を表す。

文 献

- 1) Research Group on the Genetically Significant Dose by Medical Use of X-ray diagnostic Examination in Japan (Head Miyagawa, T.): The Genetically Significant Dose by the X-ray Diagnostic Examination in Japan. Nippon Acta Radiol. 21: 565—614, 1961
- 2) Hashizume, T., Kato, Y., Maruyama, T., Kumamoto, Y., Shiragai, A. and Nishimura, T.: Genetically Significant Dose from Diagnostic Medical X-ray Examinations in Japan, 1969. Health Physics Vol. 23: 827—843, 1972
- 3) 橋詰 雅、丸山隆司、隈元芳一：診断用X線による国民線量の推定（1974）第2報 遺伝有意線量の推定；日医放会誌 36巻 (1976) 208—215, 第3報 骨髓線量と白血病有意線量の推定；日医放会誌 36巻, 216—224, 1976
- 4) 橋詰 雅、丸山隆司、隈元芳一：診断用X線による国民線量の推定（1974）第1報 撮影照射回数、透視件数および診断件数について；日医放会誌 36巻, 47—55, 1974
- 5) United Nations: Ionizing Radiation: Medical Irradiation A/Ac, 82/R July 1975
- 6) 日本胃集団検診学会：全国集計調査対象機関名簿、昭和50年9月1日
- 7) Hashizume, T., Kato, K., Maruyama, T., Kumamoto, Y., Shiragai, A. and Nishimura, A.: Population mean marrow dose and leukemia significant dose from Diagnostic Medical X-ray Examinations in Japan 1969, Health Physics Vol. 23: 845—853, 1972
- 8) Hashimoto, M. and Yamada, T.: Annual Report of Scientific Research Grants 1963, Ministry of Education, 1964
- 9) Report of the United Nations Scientific Committee on the Effects of Atomic Radiation. General Assembly, Official Records, 13 session, Suppl. 17 (A/3838) New York (1958) and Suppl. 16 (A/5216), New York, 1962
- 10) United Nations: Ionizing Radiation: Levels and Effects vol. 1 New York, 1974